

УДК 539.3

Деформирование трехслойных композитных ортотропных прямоугольных пластин

Старовойтов Э.И.,^{1*} Локтева Н.А.,^{2} Старовойтова Е.Э.¹**

¹*Белорусский государственный университет транспорта, БелГУТ, ул. Кирова, 34,
Гомель, 246653, Республика Беларусь*

²*Московский авиационный институт (национальный исследовательский университет), МАИ, Волоколамское шоссе, 4, Москва, А-80, ГСП-3, 125993, Россия*

**e-mail: dstar@mail.by*

***e-mail: nlok@rambler.ru*

Аннотация

Рассмотрен изгиб упругой прямоугольной ортотропной трехслойной пластины с жестким заполнителем и композитными слоями. Для описания кинематики несущих слоев приняты гипотезы Кирхгофа. На контуре пластины предполагается наличие жесткой диафрагмы, препятствующей относительному сдвигу слоев. Дифференциальная система уравнений равновесия получена с помощью вариационного принципа Лагранжа. Аналитическое решение выписано в определителях. Проведен числовой параметрический анализ напряженно-деформированного состояния пластины под действием локальных нагрузок.

Ключевые слова: трехслойная круговая пластина, колебания, локальные нагрузки, напряженно-деформированное состояние, композиты.

Введение

Слоистые элементы конструкций широко используются в современном авиа- и ракетостроении, в том числе при изготовлении крыльев, хвостового оперения и топливных баков. Так же актуально использование подобных элементов конструкций в интенсивно развивающихся отраслях строительства и промышленности (транспортное машиностроение, реакторное оборудование и т.д.). Трехслойные пластины в условиях деформации изгиба оказываются наиболее рациональными с точки зрения прочности и жесткости. В публикациях [1–4] рассмотрено деформирование трехслойных пластин, набранных из ортотропных материалов. В монографиях и статьях [5–8] исследован изгиб трехслойных стержней и круговых пластин, связанных и несвязанных с упругим основанием. В работах [9,10] исследован процесс неравномерного нагрева слоистой пластины. В работах [11-13] исследованы колебания трехслойных стержня и оболочки под воздействием различных нагрузок.

Здесь приводится математическая постановка задачи об изгибе прямоугольной трехслойной ортотропной пластины локальными нагрузками, ее аналитическое решение и численный параметрический анализ полученного решения.

1. Постановка и решение задачи

Постановка задачи проводится в прямоугольной системе координат x, y, z , связанной со срединной плоскостью заполнителя (рис. 1). В дальнейшем принято, что пластина шарнирно оперта по контуру.

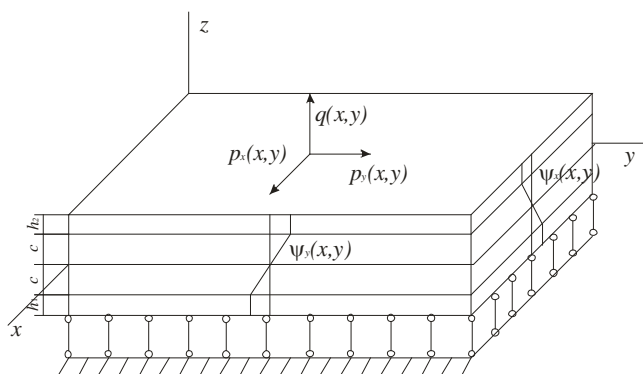


Рис. 1. Расчетная схема прямоугольной трехслойной ортотропной пластины

На пластину действует внешняя распределенная поверхностная нагрузка, проекции которой на координатные оси $p_x(x, y)$, $p_y(x, y)$, $q(x, y)$. Через $w(x, y)$ и $u_x(x, y)$, $u_y(x, y)$ обозначены прогиб и продольные перемещения срединной плоскости заполнителя вдоль координатных осей; h_k – толщина k -го слоя ($h_3 = 2c, k = 1, 2, 3$); l_x, l_y – размеры пластины вдоль соответствующих осей.

Для описания кинематики пакета приняты гипотезы ломаной нормали: в несущих слоях справедливы гипотезы Кирхгофа, в несжимаемом по толщине заполнителе нормаль остается прямолинейной, не изменяет своей длины, но поворачивается на некоторый дополнительный угол, составляющий с координатными осями x, y величины $\psi_x(x, y)$ и $\psi_y(x, y)$ соответственно. На контуре пластины предполагается наличие жесткой диафрагмы, препятствующей относительному сдвигу слоев. Деформации малые.

Следуя из введенных геометрических гипотез, выражения для продольных перемещений в слоях через пять искомых функции $w(x, y)$, $u_x(x, y)$, $u_y(x, y)$, $\psi_x(x, y)$ и $\psi_y(x, y)$ принимают вид:

$$\begin{aligned}
 u_x^{(1)} &= u_x + c\psi_x - zw_{,x} \quad (c \leq z \leq c + h_1); \\
 u_x^{(3)} &= u_x + z\psi_x - zw_{,x} \quad (-c \leq z \leq c); \\
 u_x^{(2)} &= u_x - c\psi_x - zw_{,x} \quad (-c - h_2 \leq z \leq -c); \\
 u_y^{(1)} &= u_y + c\psi_y - zw_{,y} \quad (c \leq z \leq c + h_1); \\
 u_y^{(3)} &= u_y + z\psi_y - zw_{,y} \quad (-c \leq z \leq c); \\
 u_y^{(2)} &= u_y - c\psi_y - zw_{,y} \quad (-c - h_2 \leq z \leq -c), \quad (1)
 \end{aligned}$$

где z – расстояние от рассматриваемого волокна до срединной плоскости заполнителя; $(u_i + c\psi_i)$ – величина смещения внешнего несущего слоя 1 в направлении i -ой оси за счет деформации заполнителя, для несущего слоя 2 это смещение равно $(u_i - c\psi_i)$ ($i = x, y$); запятая в нижнем индексе обозначает операцию дифференцирования по следующей за ней координате.

Компоненты тензора деформаций выражаются через искомые функции с помощью перемещений (1) и соотношений Коши.

Уравнения равновесия и силовые граничные условия следуют из принципа возможных перемещений Лагранжа:

$$\delta A + \delta W = 0. \quad (2)$$

Здесь вариация работы внешней поверхностной нагрузки:

$$\delta A = \iint_S (p_x \delta u_x + p_y \delta u_y + q \delta w) dS ,$$

вариация работы внутренних напряжений:

$$\begin{aligned} \delta W &= \sum_{k=1}^3 \iiint_V \sigma_{ij}^{(k)} \delta \varepsilon_{ij}^{(k)} dV = \\ &= \iint_S \sum_{k=1}^3 \left(\int_{h_k} \sigma_{xx}^{(k)} \delta \varepsilon_{xx}^{(k)} dz + \int_{h_k} \sigma_{yy}^{(k)} \delta \varepsilon_{yy}^{(k)} dz + \right. \\ &\left. + 2 \int_{h_k} \sigma_{xy}^{(k)} \delta \varepsilon_{xy}^{(k)} dz + 2 \int_{h_3} \sigma_{xz}^{(3)} \delta \varepsilon_{xz}^{(3)} dz + 2 \int_{h_3} \sigma_{yz}^{(3)} \delta \varepsilon_{yz}^{(3)} dz \right) dS . \end{aligned} \quad (3)$$

Так как материалы слоёв пластины приняты ортотропными, выражения для напряжений через деформации имеют вид ($\varepsilon_{zz}^{(k)} = 0$):

$$\begin{aligned} \sigma_{xy}^{(k)} &= \varepsilon_{xy}^{(k)} G_{xy}^{(k)} , \quad \sigma_{yz}^{(k)} = \varepsilon_{yz}^{(k)} G_{yz}^{(k)} , \quad \sigma_{zx}^{(k)} = \varepsilon_{zx}^{(k)} G_{zx}^{(k)} , \\ \sigma_{xx}^{(k)} &= A_3^{(k)} \varepsilon_{yy}^{(k)} + A_4^{(k)} \varepsilon_{xx}^{(k)} , \quad \sigma_{yy}^{(k)} = A_1^{(k)} \varepsilon_{yy}^{(k)} + A_2^{(k)} \varepsilon_{xx}^{(k)} , \end{aligned} \quad (4)$$

Здесь введены обозначения:

$$\begin{aligned} A_1^{(k)} &= \frac{(1 - \nu_{xz}^{(k)} \nu_{zx}^{(k)}) E_y^{(k)}}{A^{(k)}} , \quad A_2^{(k)} = \frac{(\nu_{yx}^{(k)} + \nu_{yz}^{(k)} \nu_{zx}^{(k)}) E_y^{(k)}}{A^{(k)}} , \\ A_3^{(k)} &= \frac{(\nu_{xy}^{(k)} + \nu_{xz}^{(k)} \nu_{zy}^{(k)}) E_x^{(k)}}{A^{(k)}} , \quad A_4^{(k)} = \frac{(\nu_{xy}^{(k)} + \nu_{xz}^{(k)} \nu_{xy}^{(k)}) E_x^{(k)}}{A^{(k)}} , \end{aligned}$$

где $E_i^{(k)}$, $\nu_{ij}^{(k)}$, $G_{ij}^{(k)}$ – модули Юнга, коэффициенты Пуассона и модули сдвига материала k -го слоя,

$$\begin{aligned} A^{(k)} &= (1 - \nu_{yz}^{(k)} \nu_{zy}^{(k)}) (1 - \nu_{xz}^{(k)} \nu_{zx}^{(k)}) - \\ &- (\nu_{yx}^{(k)} + \nu_{yz}^{(k)} \nu_{zx}^{(k)}) (\nu_{xy}^{(k)} + \nu_{xz}^{(k)} \nu_{zy}^{(k)}) . \end{aligned}$$

Если выразить вариации деформаций в (3) через пять искомым функции $w(x, y)$, $u_x(x, y)$, $u_y(x, y)$, $\psi_x(x, y)$ и $\psi_y(x, y)$ при помощи соотношений (4), провести интегрирование по толщине слоев, с учетом (1), то в итоге из (2) следует система пяти дифференциальных уравнений равновесия в перемещениях:

$$\begin{aligned}
& a_1 u_{x,yy} + a_2 u_{y,xy} + a_3 u_{x,xx} + a_4 \psi_{x,yy} + a_5 \psi_{y,xy} + \\
& + a_6 \psi_{x,xx} - a_7 w_{,xxx} - a_8 w_{,xyy} + p_x = 0; \\
& a_1 u_{y,xx} + a_9 u_{x,xy} + a_{10} u_{y,yy} + a_4 \psi_{y,xx} + a_{11} \psi_{x,xy} + \\
& + a_{12} \psi_{y,yy} - a_{13} w_{,yyy} - a_{14} w_{,xxy} + p_x = 0; \\
& a_7 u_{x,xxx} + a_{13} u_{y,yyy} + a_{15} u_{x,xyy} + a_{16} u_{y,xyx} + \\
& + a_{17} \psi_{x,xxx} + a_{18} \psi_{y,yyy} + a_{19} \psi_{x,xyy} + a_{20} \psi_{y,xyx} - \\
& - a_{21} w_{,xxx} - a_{22} w_{,yyy} - a_{23} w_{,xxy} + q = 0; \\
& a_6 u_{x,xx} + a_5 u_{y,xy} + a_4 u_{x,yy} + a_{24} \psi_{x,xx} + a_{25} \psi_{y,xy} + \\
& + a_{30} \psi_{x,yy} - a_{26} w_{,xyy} - a_{27} w_{,xxx} - G_{xz}^{(3)} c \psi_x = 0; \\
& a_{12} u_{y,yy} + a_{11} u_{x,xy} + a_4 u_{y,xx} + a_{28} \psi_{y,yy} + \\
& a_{29} \psi_{x,xy} + a_{30} \psi_{y,xx} - a_{31} w_{,yxx} - a_{32} w_{,yyy} - G_{yz}^{(3)} c \psi_y = 0. \tag{5}
\end{aligned}$$

Здесь коэффициенты a_i выражаются через геометрические и упругие характеристики материалов слоев:

$$\begin{aligned}
a_1 &= 0,5G_{xy}^{(1)}h_1 + cG_{xy}^{(3)} + 0,5G_{xy}^{(2)}h_2; \\
a_2 &= 0,5G_{xy}^{(1)}h_1 + cG_{xy}^{(3)} + 0,5G_{xy}^{(2)}h_2 + A_3^{(1)}h_1 + 2cA_3^{(3)} + A_3^{(2)}h_2; \\
a_3 &= A_4^{(1)}h_1 + 2cA_4^{(3)} + A_4^{(2)}h_2; \quad a_4 = 0,5G_{xy}^{(1)}ch_1 - 0,5G_{xy}^{(2)}ch_2;
\end{aligned}$$

$$a_5 = 0,5G_{xy}^{(1)}ch_1 - 0,5G_{xy}^{(2)}ch_2 + A_3^{(1)}ch_1 - A_3^{(2)}ch_2; a_6 = A_4^{(1)}ch_1 - A_4^{(2)}ch_2$$

$$a_7 = 0,5(h_1^2 + 2h_1c)A_4^{(1)} - 0,5(h_2^2 + 2h_2c)A_4^{(2)};$$

$$a_8 = 0,5(h_1^2 + 2h_1c)(A_3^{(1)} + G_{xy}^{(1)}) - 0,5(h_2^2 + 2h_2c)(A_3^{(2)} + G_{xy}^{(2)});$$

$$a_9 = 0,5G_{xy}^{(1)}h_1 + cG_{xy}^{(3)} + 0,5G_{xy}^{(2)}h_2 + A_2^{(1)}h_1 + 2cA_2^{(3)} + A_2^{(2)}h_2;$$

$$a_{10} = A_1^{(1)}h_1 + 2cA_1^{(3)} + A_1^{(2)}h_2; a_{11} = 0,5G_{xy}^{(1)}ch_1 - 0,5G_{xy}^{(2)}ch_2 + A_2^{(1)}ch_1 - A_2^{(2)}ch_2;$$

$$a_{12} = A_1^{(1)}ch_1 - A_1^{(2)}ch_2; a_{13} = 0,5(h_1^2 + 2h_1c)A_1^{(1)} - 0,5(h_2^2 + 2h_2c)A_1^{(2)};$$

$$a_{14} = 0,5(h_1^2 + 2h_1c)(A_2^{(1)} + G_{xy}^{(1)}) - 0,5(h_2^2 + 2h_2c)(A_2^{(2)} + G_{xy}^{(2)});$$

$$a_{15} = 0,5(h_1^2 + 2h_1c)(A_2^{(1)} + 0,5G_{xy}^{(1)}) - 0,5(h_2^2 + 2h_2c)(A_2^{(2)} + 0,5G_{xy}^{(2)});$$

$$a_{16} = 0,5(h_1^2 + 2h_1c)(A_3^{(1)} + 0,5G_{xy}^{(1)}) - 0,5(h_2^2 + 2h_2c)(A_3^{(2)} + 0,5G_{xy}^{(2)});$$

$$a_{17} = 0,5c(h_1^2 + 2h_1c)A_4^{(1)} + 0,5c(h_2^2 + 2h_2c)A_4^{(2)} + \frac{2}{3}c^3A_4^{(3)};$$

$$a_{18} = 0,5c(h_1^2 + 2h_1c)A_1^{(1)} + 0,5c(h_2^2 + 2h_2c)A_1^{(2)} + \frac{2}{3}c^3A_1^{(3)};$$

$$a_{19} = 0,5c(h_1^2 + 2h_1c)(A_2^{(1)} + 0,5G_{xy}^{(1)}) +$$

$$+0,5c(h_2^2 + 2h_2c)(A_2^{(2)} + 0,5G_{xy}^{(2)}) + \frac{2}{3}c^3A_2^{(3)} + \frac{1}{3}G_{xy}^{(3)}c^3;$$

$$a_{20} = 0,5c(h_1^2 + 2h_1c)(A_3^{(1)} + 0,5G_{xy}^{(1)}) +$$

$$+0,5c(h_2^2 + 2h_2c)(A_3^{(2)} + 0,5G_{xy}^{(2)}) + \frac{2}{3}c^3A_3^{(3)} + \frac{1}{3}G_{xy}^{(3)}c^3;$$

$$a_{21} = (h_1^2c + h_1c^2 + \frac{1}{3}h_1^3)A_4^{(1)} - (h_2^2c + h_2c^2 + \frac{1}{3}h_2^3)A_4^{(2)} + \frac{2}{3}c^3A_4^{(3)};$$

$$a_{22} = (h_1^2 c + h_1 c^2 + \frac{1}{3} h_1^3) A_1^{(1)} - (h_2^2 c + h_2 c^2 + \frac{1}{3} h_2^3) A_1^{(2)} + \frac{2}{3} c^3 A_1^{(3)};$$

$$a_{23} = (h_1^2 c + h_1 c^2 + \frac{1}{3} h_1^3) (A_2^{(1)} + A_3^{(1)} + 0,5 G_{xy}^{(1)}) +$$

$$+ (h_2^2 c + h_2 c^2 + \frac{1}{3} h_2^3) (A_2^{(2)} + A_3^{(2)} + 0,5 G_{xy}^{(2)}) + \frac{2}{3} c^3 (A_2^{(3)} + A_3^{(3)} + G_{xy}^{(3)});$$

$$a_{24} = A_4^{(1)} c^2 h_1 + A_4^{(2)} c^2 h_2;$$

$$a_{25} = A_3^{(1)} c h_1 + A_3^{(2)} c^2 h_2 + \frac{2}{3} c^3 A_3^{(3)} + 0,5 G_{xy}^{(1)} h_1 c^2 + 0,5 G_{xy}^{(2)} h_2 c^2 + \frac{1}{3} c^3 G_{xy}^{(3)};$$

$$a_{26} = 0,5 c (h_1^2 + 2 h_1 c) (A_3^{(1)} + G_{xy}^{(1)}) +$$

$$+ 0,5 c (h_2^2 + 2 h_2 c) (A_3^{(2)} + G_{xy}^{(2)}) + \frac{1}{3} c^3 G_{xy}^{(3)} + \frac{2}{3} c^3 A_1^{(3)};$$

$$a_{27} = 0,5 c (h_1^2 + 2 h_1 c) A_4^{(1)} + 0,5 c (h_2^2 + 2 h_2 c) A_4^{(2)}; \quad a_{28} = A_2^{(1)} c^2 h_1 + A_2^{(2)} c^2 h_2;$$

$$a_{29} = A_2^{(1)} c^2 h_1 + A_2^{(2)} c^2 h_2 + \frac{2}{3} c^3 A_2^{(3)} + 0,5 G_{xy}^{(1)} h_1 c^2 + 0,5 G_{xy}^{(2)} h_2 c^2 + \frac{1}{3} c^3 G_{xy}^{(3)};$$

$$a_{30} = 0,5 G_{xy}^{(1)} c^2 h_1 + 0,5 G_{xy}^{(2)} c^2 h_2 + \frac{1}{3} c^3 G_{xy}^{(3)};$$

$$a_{31} = 0,5 c (h_1^2 + 2 h_1 c) A_1^{(1)} + 0,5 c (h_2^2 + 2 h_2 c) A_1^{(2)} + \frac{2}{3} c^3 A_1^{(3)};$$

$$a_{32} = 0,5 c (h_1^2 + 2 h_1 c) A_2^{(1)} + 0,5 c (h_2^2 + 2 h_2 c) A_2^{(2)}. \quad (6)$$

В качестве условий закрепления принято свободное опирание пластины по контуру $x, y = 0, l$ на неподвижные в пространстве жесткие опоры. Соответствующие граничные условия в сечениях $x = 0, l_x$; $y = 0, l_y$ в перемещениях имеют вид:

$$w = u_{x,x} = u_{y,y} = w_{,xx} = w_{,yy} = 0. \quad (7)$$

Искомое итерационное решение краевой задачи принимается в двойных тригонометрических рядах:

$$\begin{aligned} \Psi_x &= \sum_{n=1}^{\infty} \sum_{m=1}^{\infty} \Psi_{xmn} \cos \frac{m\pi x}{l_x} \sin \frac{n\pi y}{l_y}; \quad \Psi_y = \sum_{n=1}^{\infty} \sum_{m=1}^{\infty} \Psi_{ymn} \sin \frac{m\pi x}{l_x} \cos \frac{n\pi y}{l_y}; \\ w &= \sum_{n=1}^{\infty} \sum_{m=1}^{\infty} w_{mn} \sin \frac{m\pi x}{l_x} \sin \frac{n\pi y}{l_y}; \\ u_x &= \sum_{n=1}^{\infty} \sum_{m=1}^{\infty} u_{xmn} \cos \frac{m\pi x}{l_x} \sin \frac{n\pi y}{l_y}; \quad u_y = \sum_{n=1}^{\infty} \sum_{m=1}^{\infty} u_{ymn} \sin \frac{m\pi x}{l_x} \cos \frac{n\pi y}{l_y}. \end{aligned} \quad (8)$$

Где u_{xmn} , u_{ymn} , Ψ_{xmn} , Ψ_{ymn} , w_{mn} – искомые амплитудные значения соответствующих перемещений.

Проекции нагрузки представимы в виде разложения в следующие ряды:

$$\begin{aligned} p_x &= \sum_{n=1}^{\infty} \sum_{m=1}^{\infty} p_{xmn} \cos \frac{m\pi x}{l_x} \sin \frac{n\pi y}{l_y}; \\ p_y &= \sum_{n=1}^{\infty} \sum_{m=1}^{\infty} p_{ymn} \sin \frac{m\pi x}{l_x} \cos \frac{n\pi y}{l_y}; \\ q &= \sum_{n=1}^{\infty} \sum_{m=1}^{\infty} q_{mn} \sin \frac{m\pi x}{l_x} \sin \frac{n\pi y}{l_y}. \end{aligned} \quad (9)$$

Здесь коэффициенты разложения имеют вид:

$$\begin{aligned} q_{mn} &= \frac{4}{l_x l_y} \int_0^{l_x} \int_0^{l_y} q \cdot \sin \frac{m\pi x}{l_x} \sin \frac{n\pi y}{l_y} dx dy; \\ p_{xmn} &= \frac{4}{l_x l_y} \int_0^{l_x} \int_0^{l_y} p_x \cdot \cos \frac{m\pi x}{l_x} \sin \frac{n\pi y}{l_y} dx dy; \\ p_{ymn} &= \frac{4}{l_x l_y} \int_0^{l_x} \int_0^{l_y} p_y \cdot \sin \frac{m\pi x}{l_x} \cos \frac{n\pi y}{l_y} dx dy. \end{aligned} \quad (10)$$

В этом случае граничные условия (7) выполняются автоматически, а для нахождения амплитуд перемещений u_{xmn} , u_{ymn} , Ψ_{xmn} , Ψ_{ymn} , w_{mn} используется система линейных алгебраических уравнений, которая следует из подстановки выражений (8) и (9) в уравнения (5):

$$\begin{aligned}
 b_{11}u_{xmn} + b_{12}u_{ymn} + b_{13}\Psi_{xmn} + b_{14}\Psi_{ymn} - b_{15}w_{mn} &= p_{xmn}, \\
 b_{21}u_{xmn} + b_{22}u_{ymn} + b_{23}\Psi_{xmn} + b_{24}\Psi_{ymn} - b_{25}w_{mn} &= p_{ymn}, \\
 b_{31}u_{xmn} + b_{32}u_{ymn} + b_{33}\Psi_{xmn} + b_{34}\Psi_{ymn} - b_{35}w_{mn} &= -q_{mn}, \\
 b_{41}u_{xmn} + b_{42}u_{ymn} + b_{43}\Psi_{xmn} + b_{44}\Psi_{ymn} - b_{45}w_{mn} &= 0, \\
 b_{51}u_{xmn} + b_{52}u_{ymn} + b_{53}\Psi_{xmn} + b_{54}\Psi_{ymn} - b_{55}w_{mn} &= 0,
 \end{aligned} \tag{11}$$

где величины b_{ij} определяются через параметры m , n и коэффициенты (6).

Аналитическое решение системы (11) можно выписать в определителях:

$$u_{xmn} = \frac{\Delta_{1mn}}{\Delta_{mn}}; \quad u_{ymn} = \frac{\Delta_{2mn}}{\Delta_{mn}}; \quad \Psi_{xmn} = \frac{\Delta_{3mn}}{\Delta_{mn}}; \quad \Psi_{ymn} = \frac{\Delta_{4mn}}{\Delta_{mn}}; \quad w_{mn} = \frac{\Delta_{5mn}}{\Delta_{mn}},$$

где Δ_{mn} – определитель системы (11), а определители Δ_{imn} следуют из него при замене i -го столбца на столбец свободных членов.

В случае граничных условий отличных от (7) вид решения будет отличаться от (9). Например, если две грани шарнирно оперты, а две другие защемлены, то решение можно строить в одинарных тригонометрических рядах.

2. Действие локальных нагрузок

Локальная равномерно распределенная нагрузка. Поверхностная нагрузка равномерно распределена по площадке, заключенной между прямыми $x = x_1$, $x = x_2$ ($x_2 > x_1$); $y = y_1$, $y = y_2$ ($y_2 > y_1$):

$$q(x, y) = q_0 [H(x_2 - x) - H(x_1 - x)][H(y_2 - y) - H(y_1 - y)], \quad (12)$$

где q_0 – постоянная величина, H – функция Хевисайда.

Коэффициенты разложения нагрузки в ряд получены вычислением первого из интегралов (11) с учетом (13):

$$q_{mn} = \frac{4q_0}{mn\pi^2} \left[\cos\left(\frac{\pi ny_1}{l_y}\right) - \cos\left(\frac{\pi ny_2}{l_y}\right) \right] \times \\ \times \left[\cos\left(\frac{\pi mx_1}{l_x}\right) - \cos\left(\frac{\pi mx_2}{l_x}\right) \right]. \quad (13)$$

Амплитуды находятся после подстановки полученных значений в систему (11), перемещения следуют из (8), напряжения – из (4).

Сосредоточенная сила P приложена в точке $x = x_p$, $y = y_p$. Решение получено предельным переходом. Предполагается, что ранее рассмотренная локальная поверхностная нагрузка $q(x, y)$ действует в некой малой окрестности точки $(x_p; y_p)$ с размерами ξ_x , ξ_y . Тогда выражение для нагрузки принимает вид:

$$q(x, y) = q_0 [H(x_p + \xi_x - x) - H(x_p - \xi_x - x)] \times \\ \times [H(y_p + \xi_y - y) - H(y_p - \xi_y - y)]. \quad (14)$$

Равнодействующая этой нагрузки:

$$P = 4q_0 \xi_x \xi_y \quad (15)$$

После подстановки (15) в (14) и устремления ξ_x , ξ_y к нулю выражение для коэффициентов (13) разложения нагрузки в ряд примет следующий вид:

$$q_{mn} = \frac{4P}{l_x l_y} \sin\left(\frac{m\pi x_p}{l_x}\right) \sin\left(\frac{n\pi y_p}{l_y}\right). \quad (16)$$

Ход дальнейшего решения задачи аналогичен вышеприведенному для локально распределенной нагрузки.

Сосредоточенный момент M_y , вектор которого сонаправлен с осью ou , действует в точке $x = x_M$, $y = y_M$. Считается, что он образован парой противоположно направленных сосредоточенных сил P , равных по величине и действующих в окрестности точки $(x_M; y_M)$, разнесенных на бесконечно малое расстояние 2ξ вдоль оси ox .

В результате предельного перехода с использованием (16) и учетом того, что $M_y = 2\xi P$, выражения для коэффициентов q_{mn} принимают вид:

$$q_{mn} = \frac{4M_y m\pi}{l_x^2 l_y} \left[\cos\left(\frac{m\pi x_M}{l_x}\right) \sin\left(\frac{n\pi y_M}{l_y}\right) \right].$$

3. Численные результаты

Получены для трёхслойной квадратной ортотропной пластины, пакет которой следующий: несущие слои – высокопрочные углеродные волокна на эпоксидном связующем; наполнитель – политетрафторэтилен. Механические характеристики используемых материалов приведены в табл. 1. Толщины слоёв: $h_1 = 0,03$, $h_2 = 0,03$, $c = 0,1$ м, линейные размеры $l_x = l_y = 1$ м.

Таблица 1. Механические характеристики используемых материалов

Параметры	Высокопрочные углеродные волокна на эпоксидном связующем	Политетрафторэтилен
$E_x, \text{МПа}$	$1,265 \cdot 10^5$	268,29
$E_y, \text{МПа}$	$0,105 \cdot 10^5$	268,29
$E_z, \text{МПа}$		268,29
$G_{xy}, \text{МПа}$	$0,562 \cdot 10^4$	90
$G_{yz}, \text{МПа}$		90
$G_{zx}, \text{МПа}$		90
ν_{xy}	0,27	0,49
ν_{yx}	0,02	0,49

Численное исследование сходимости рядов (9) показало, что при их суммировании достаточно удерживать 20 первых слагаемых. Добавление еще 80 слагаемых изменяет результат менее чем на 0,1 %. Дальнейшее увеличение количества членов ряда не влияет на величину перемещений.

На рис. 2, показаны перемещения при действии локальных нагрузок с одинаковой равнодействующей: 1 – поверхностная нагрузка с интенсивностью $q_0 = 0,1 \text{ МПа}$, равномерно распределенная по всей внешней поверхности слоя 1 пластины; 2 – $q_0 = 0,4 \text{ МПа}$, равномерно распределена по площадке $x \in [0,25; 0,75]$, $y \in [0,25; 0,75]$; 3 – сосредоточенная сила $P = 100 \text{ кН}$, действующая в середине пластины. Здесь и далее сплошными линиями показаны перемещения w , ψ_y вдоль оси y при $x = 0,5$, пунктирными – перемещения w , ψ_x вдоль оси x при $y = 0,5$; a – прогиб; b – относительный сдвиг в заполнителе

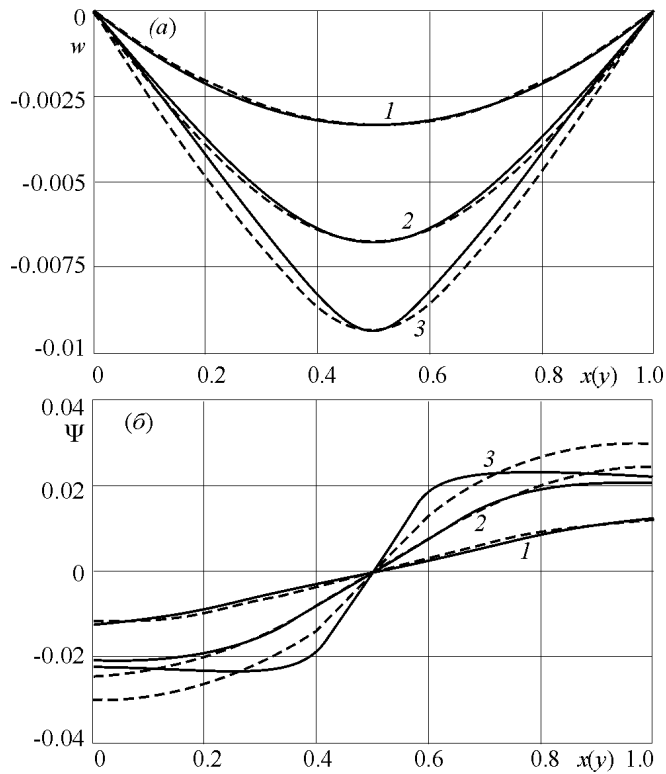


Рис. 2. Перемещения в пластине при действии нагрузок с одинаковой равнодействующей

Как видно из рис. 2, при одинаковой равнодействующей перемещения больше от нагрузок стянутых к центру пластины. Различия в величине перемещений вдоль разных осей объясняется ортотропностью материалов несущих слоев.

На рис. 3 показаны напряжения $\sigma_{xx}^{(k)}$ – а, $\sigma_{yy}^{(k)}$ – б при действии различных нагрузок с одинаковой равнодействующей. Обозначения, как и на рис. 2. Масштаб для кривых 1 и 2 на рис. 3 б увеличен в 10 раз. Переход от равномерно распределенной нагрузки к сосредоточенной силе вызывает увеличение напряжений в несущих слоях примерно в 9 раз, в заполнителе – в 33 раза.

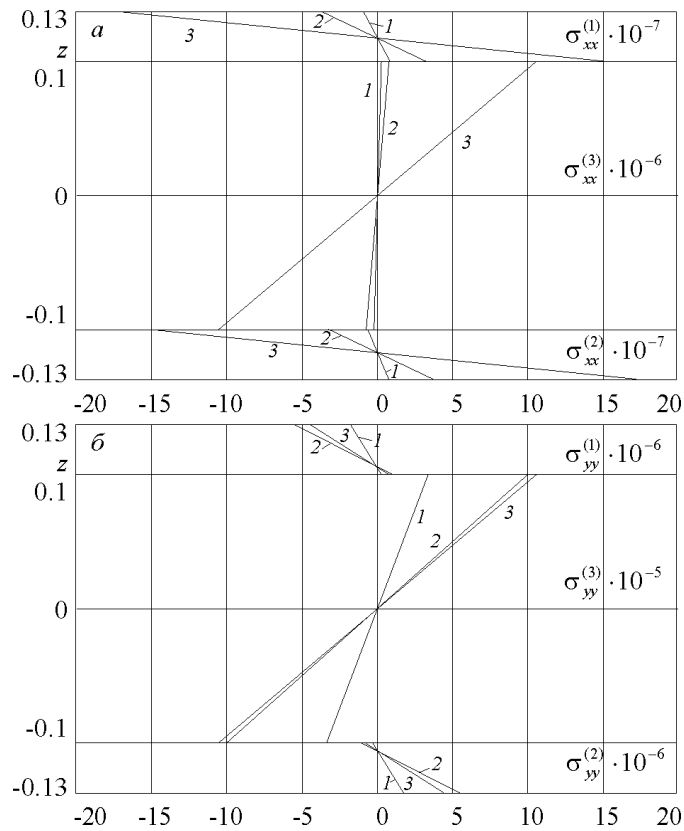


Рис. 3. Напряжения в пластине при действии нагрузок с одинаковой равнодействующей

На рис. 4 показаны перемещения при действии сосредоточенной силы $P = 100$ кН в различных точках поверхности пластины: 1 – $x_p = y_p = 0,125$; 2 – $x_p = y_p = 0,25$; 3 – $x_p = y_p = 0,375$.

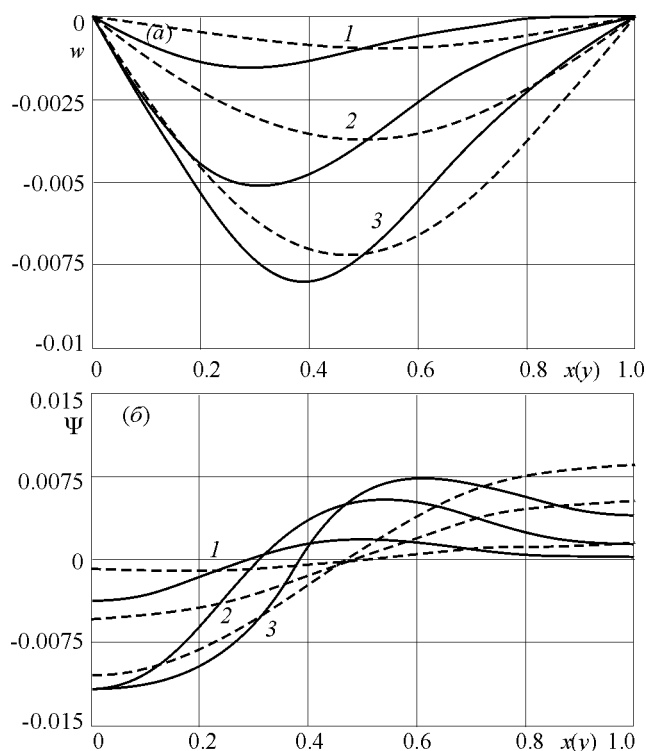


Рис. 4. Перемещения в пластине при действии сосредоточенной силы

Здесь также при продвижении нагрузки к центру пластины перемещения возрастают.

На рис. 5 показаны перемещения в пластине при действии сосредоточенного момента $M_y = 40$ кНм в различных точках поверхности пластины: 1 – в центре пластины ($x_m = y_m = 0,5$); 2 – в точке $x_m = y_m = 0,25$, перемещения вдоль линий, проходящих через центр пластины; 3 – в точке $x_m = y_m = 0,25$, перемещения вдоль линий, проходящих через точку приложения нагрузки, точечные кривые w, ψ_y при $x = x_m$, штрихпунктирные – w, ψ_x при $y = y_m$. При действии момента в центре пластины, перемещения возникают только вдоль оси x ; эксцентриситет нагрузки вызывает перемещения вдоль обеих осей.

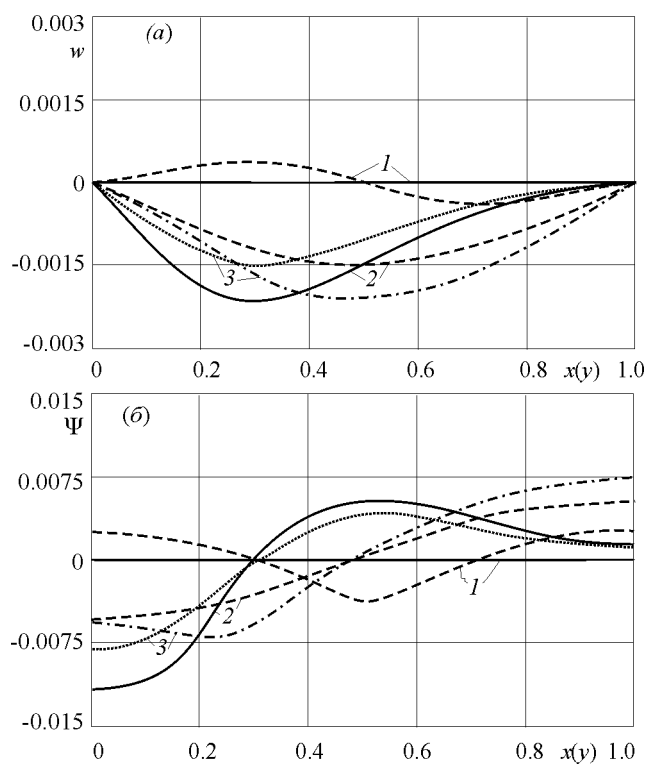


Рис. 5. Перемещения в пластине при действии сосредоточенного момента

Выводы

Приведенный метод расчета прямоугольных трехслойных ортотропных пластин позволяет получать достаточно точные для инженерной практики параметры напряженно-деформированного состояния. Ортотропность материалов несущих слоев существенно влияет на перемещения и напряжения в пластине.

Исследование выполнено за счет гранта Российского научного фонда (проект №14-49-00091).

Библиографический список

1. Тамуров Н. Г. Некоторые задачи изгиба прямоугольных трехслойных ортотропных пластин. – Днепропетровск, Изд-во ДГУ, 1959. - 18 с.
2. Jeon J. S., Hong C. S. Bending of tapered anisotropic sandwich plates with arbitrary edge conditions, *AIAA Journal*. 1992. no 7. pp. 1762–1769.
3. Katori H., Nishimura T. Shear deflection of anisotropic plate // Нихон кикай гаккай ромбунсю. *Trans. Jap. Soc. Mech. Eng. A*. 1992. no 545. pp. 133–139.
4. Ворович И. И. Математические проблемы нелинейной теории пологих оболочек. - М.: Наука, 1989. – 373 с.
5. Старовойтов Э.И., Яровая А.В., Леоненко Д.В. Деформирование трехслойных элементов конструкций на упругом основании. - М: ФИЗМАТЛИТ, 2006. – 380 с.
6. Starovoitov E.I., Leonenko D.V., Yarovaya A.V. Vibration of circular sandwich plates under resonance loads // *International Applied Mechanics*. – 2003. – Т. 39. no. 12. pp. 1458–1463.
7. Горшков А.Г., Старовойтов Э.И., Леоненко Д.В. Колебания трехслойных стержней под действием локальных нагрузок различных форм // *Экологический вестник научных центров Черноморского экономического сотрудничества*. 2004. № 1. С. 45–52.
8. Горшков А.Г., Старовойтов Э.И., Яровая А.В., Леоненко Д.В. Деформирование круговой трехслойной пластины на упругом основании // *Экологический*

вестник научных центров Черноморского экономического сотрудничества. – 2005.
№ 1. – С. 16–22.

9. Вестяк В.А., Земсков А.В., Федотенков Г.В. Слабо неравномерный нагрев неограниченной слоистой пластины // Вестник Московского авиационного института. 2010. Т. 17. № 6. С. 152 – 158.

10. Старовойтов Э.И., Леоненко Д.В., Сулейман М. Термоупругий изгиб кольцевой трехслойной пластины на упругом основании // Экологический вестник научных центров Черноморского экономического сотрудничества. 2006. № 4. С. 55–62.

11. Леоненко Д.В. Колебания трехслойного стержня под действием импульсных нагрузок различных форм // Материалы, технологии, инструменты. 2004. Т. 9. № 2. С. 23–27.

12. Леоненко Д.В. Радиальные собственные колебания упругих трехслойных цилиндрических оболочек // Механика машин, механизмов и материалов. 2010. № 3 (12). С. 53–56.

13. Леоненко Д.В. Вынужденные колебания трехслойного стержня ВИНУ на упругом безинерционном основании // Проблемы машиностроения и автоматизации. 2007. № 3. С. 70–74.